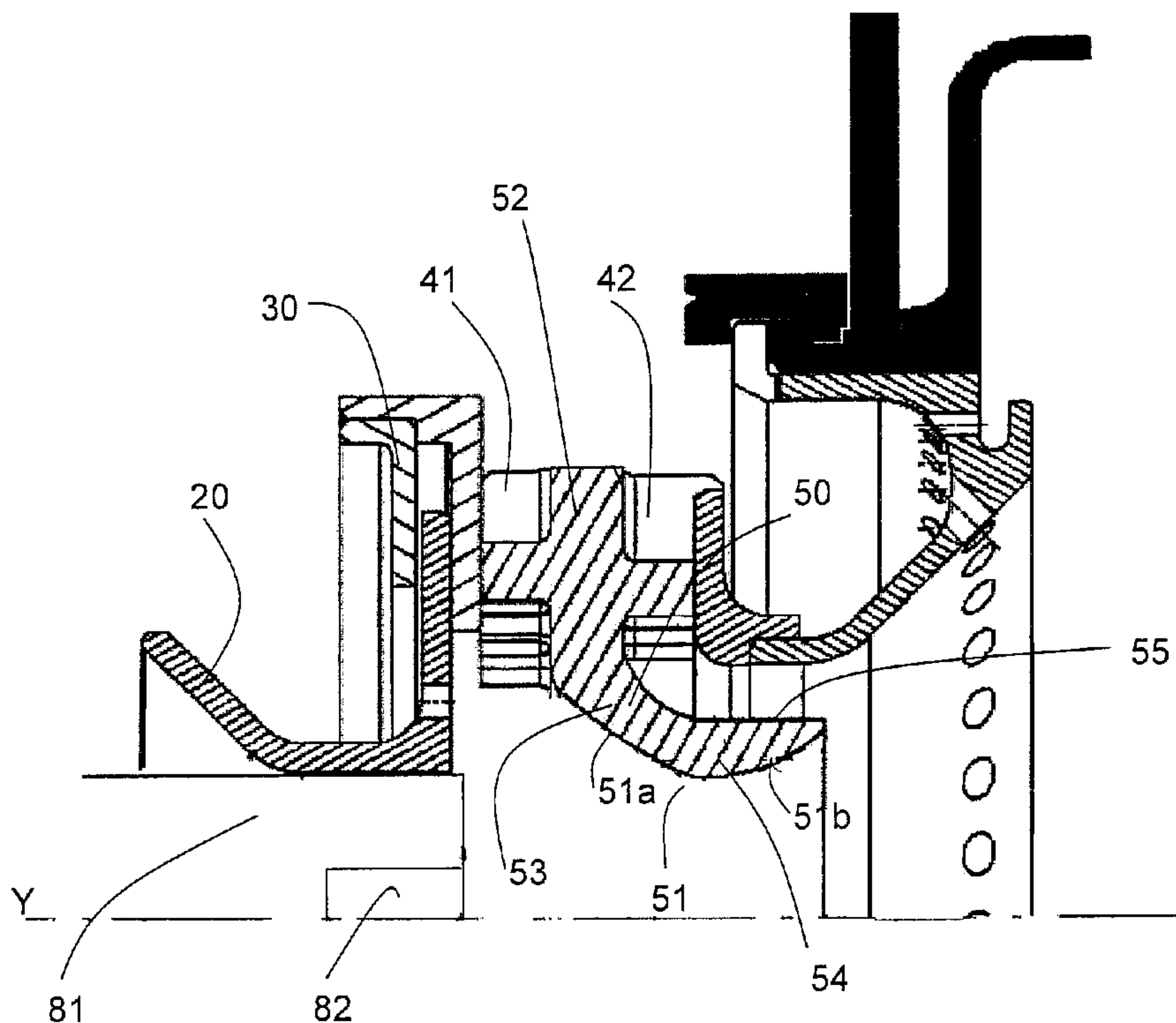




(22) Date de dépôt/Filing Date: 2007/06/28  
(41) Mise à la disp. pub./Open to Public Insp.: 2007/12/29  
(30) Priorité/Priority: 2006/06/29 (FR0605854)

(51) Cl.Int./Int.Cl. *F23R 3/28* (2006.01),  
*F02C 3/14* (2006.01)  
(71) Demandeur/Applicant:  
SNECMA, FR  
(72) Inventeurs/Inventors:  
COMMARET, PATRICE ANDRE, FR;  
SANDELIS, DENIS JEAN MAURICE, FR  
(74) Agent: GOUDREAU GAGE DUBUC

(54) Titre : DISPOSITIF D'INJECTION D'UN MELANGE D'AIR ET DE CARBURANT, CHAMBRE DE COMBUSTION ET TURBOMACHINE MUNIES D'UN TEL DISPOSITIF  
(54) Title: DEVICE FOR THE INJECTION OF AN AIR-FUEL MIXTURE, COMBUSTION CHAMBER AND TURBINE ENGINE EQUIPPED WITH SUCH A DEVICE



(57) Abrégé/Abstract:

L'invention se rapporte au domaine des turbomachines et concerne un dispositif d'injection (10) d'un mélange d'air et de carburant dans une chambre de combustion (4) d'une turbomachine (1). Elle concerne plus précisément un dispositif d'injection (10) muni de deux circuits de passage du carburant et se rapporte à un nouveau venturi (50) dont la forme permet d'améliorer la carburation.

ABREGE

L'invention se rapporte au domaine des turbomachines et concerne un dispositif d'injection (10) d'un mélange d'air et de carburant dans une chambre de combustion (4) d'une turbomachine (1). Elle  
5 concerne plus précisément un dispositif d'injection (10) muni de deux circuits de passage du carburant et se rapporte à un nouveau venturi (50) dont la forme permet d'améliorer la carburation.

10

Figure pour l'abrégé : figure 4

Dispositif d'injection d'un mélange d'air et de carburant, chambre de combustion et turbomachine munies d'un tel dispositif

5 L'invention se rapporte au domaine des turbomachines et concerne un dispositif d'injection d'un mélange d'air et de carburant dans une chambre de combustion d'une turbomachine .

Elle concerne plus précisément un dispositif d'injection muni de deux circuits de passage du carburant et se rapporte à un nouveau venturi  
10 dont la forme permet d'améliorer la carburation.

Dans la suite de la description, les termes "amont" ou "aval" seront utilisés pour désigner les positions des éléments de structure les  
15 uns par rapport aux autres en direction axiale, en prenant pour référence le sens d'écoulement des gaz. De même, les termes "interne" ou "radialement interne" et "externe" ou "radialement externe" seront utilisés pour désigner les positions des éléments de structure les uns par rapport aux autres en direction radiale, en prenant pour référence l'axe de rotation  
20 de la turbomachine.

Une turbomachine comprend un ou plusieurs compresseur(s) délivrant de l'air sous pression à une chambre de combustion où l'air est mélangé à du carburant et allumé afin de générer des gaz de combustion  
25 chauds. Ces gaz s'écoulent vers l'aval de la chambre vers une ou plusieurs turbine(s) qui transforme(nt) l'énergie ainsi reçue afin d'entraîner en rotation le ou les compresseur(s) et fournir le travail nécessaire, par exemple, à la motorisation d'un avion.

30 Typiquement, une chambre de combustion utilisée en aéronautique comprend une paroi interne et une paroi externe, reliées entre elles à leur extrémité amont par un fond de chambre. Le fond de chambre présente, espacées circonférentiellement, une pluralité d'ouvertures recevant chacune un dispositif d'injection qui permet  
35 l'amenée du mélange d'air et de carburant dans la chambre. Chaque dispositif d'injection comprend notamment un injecteur de carburant, des

vrilles radiales, un venturi, un bol et un déflecteur, reliés entre eux, le fond de chambre venant se fixer sur le déflecteur.

5 La chambre de combustion est alimentée par du carburant liquide, mélangé à de l'air issu d'un compresseur. Le carburant liquide est amené jusqu'à la chambre par les injecteurs dans lesquels le carburant est vaporisé en fines gouttelettes. Cette vaporisation est initiée au niveau de l'injecteur grâce à des gicleurs et est poursuivie au niveau du venturi et du bol par l'effet d'air sous pression provenant d'un compresseur. Cet air  
10 sous pression traverse, d'une part, les vrilles radiales du dispositif d'injection pour mettre en rotation le carburant pulvérisé par l'injecteur, et, d'autre part, des orifices ménagés dans différentes parties du dispositif d'injection telles que le bol.

15 Il existe plusieurs types d'injecteurs : les injecteurs traversés par un seul circuit d'alimentation en carburant et ceux traversés par deux circuits d'alimentation en carburant.

Dans le cas d'injecteurs à deux circuits de carburant, un premier circuit, appelé circuit primaire ou circuit ralenti, fonctionne seul entre  
20 l'allumage de la turbomachine et un premier régime de rotation de la turbomachine correspondant au ralenti. Un deuxième circuit, appelé circuit secondaire ou circuit plein gaz, fonctionne ensuite en même temps que le circuit primaire entre le régime de rotation correspondant au ralenti et un second régime de rotation correspondant au plein gaz, c'est à dire au  
25 régime de rotation le plus élevé de la turbomachine.

L'injection du carburant dans la chambre de combustion peut être directe ou indirecte. Elle est dite directe quand le carburant n'impacte aucune pièce entre sa sortie de l'injecteur et la chambre de combustion.  
30 Elle est dite indirecte quand le carburant impacte, après sa sortie de l'injecteur, une pièce avant de parvenir dans la chambre. Généralement la pièce impactée est le venturi du dispositif d'injection.

Comme illustré dans le document FR 2 753 779, l'angle de la nappe de carburant du circuit primaire, qui forme un cône de carburant,  
35 est généralement défini de sorte que le carburant n'impacte jamais le venturi et que l'injection du circuit primaire soit donc directe, tandis que

l'injection du circuit secondaire est indirecte, le carburant impactant le venturi en sortie d'injecteur. Une telle disposition permet de s'affranchir des effets négatifs constatés dans le cas où la nappe de carburant du circuit primaire impacte aussi le venturi. Ces effets négatifs sont une  
5 augmentation rédhibitoire de l'angle de la nappe de carburant en sortie de venturi et une augmentation de la taille des gouttelettes. Ceci provoque la projection de carburant non vaporisé sur les parois de la chambre de combustion, et entraîne la formation de quantités importantes de monoxyde de carbone et d'hydrocarbures imbrûlés.

10 Cependant, le fait que l'injection du circuit primaire soit directe implique que, lorsque seul le circuit primaire fonctionne, le venturi n'est pas impacté par du carburant et n'est donc pas refroidi, tandis que, lorsque les circuits primaire et secondaire fonctionnent, il l'est. Ainsi, le venturi subit des variations de températures importantes, propices à la  
15 formation de coke.

L'objectif de l'invention est de limiter les variations de températures subies par le venturi et ainsi de limiter voire supprimer la formation de coke sur cette pièce.

20

L'invention permet de résoudre ce problème en proposant un dispositif d'injection comportant un venturi dont la géométrie est telle que, associée à un gicleur dont l'angle de pulvérisation est compris dans une  
25 certaine plage, la nappe de carburant issue du circuit primaire impacte légèrement, en sortie d'injecteur, le venturi.

Ainsi, il a été constaté, de façon surprenante et allant contre les préjugés décrits notamment dans le document FR 2 753 779, que malgré l'apparition d'effets négatifs lorsque l'impact de la nappe de carburant du  
30 circuit primaire sur le venturi est trop important, ces effets disparaissent au profit d'effets bénéfiques, notamment sur la formation de coke, quand l'impact est léger.

Plus particulièrement, l'invention concerne un ensemble  
35 d'alimentation en carburant d'une chambre de combustion d'une turbomachine comprenant :

- un injecteur de carburant à double débit destiné à injecter un débit primaire de carburant délivré par un circuit primaire d'alimentation en carburant, et un débit secondaire de carburant délivré par un circuit secondaire d'alimentation en carburant,
- 5     - le débit primaire de carburant formant un cône de carburant formé par les débits primaire et secondaire de carburant,
- un dispositif d'injection du carburant issu de l'injecteur,

le dispositif d'injection ayant une symétrie de révolution autour d'un axe et comportant, disposés d'amont en aval dans le sens d'écoulement du débit de carburant, une traversée coulissante au centre de laquelle est positionné l'injecteur, des vrilles radiales reliées par leur extrémité aval à un bol, les vrilles radiales comportant un venturi, muni d'une paroi intérieure ayant un profil évolutif composé d'une partie amont convergente reliée à une partie aval divergente, par une zone de transition, le venturi ayant un diamètre intérieur minimum au niveau de la zone de transition, remarquable en ce que le venturi a une longueur, une forme et une position axiale adaptées pour que le cône de carburant du circuit primaire impacte le venturi, le cône de carburant ayant, en aval du venturi, un demi-angle au sommet  $\beta$  compris entre 30 et 40 degrés et comportant une première partie centrale et une seconde partie périphérique, la première partie centrale formant un cône de demi-angle au sommet  $\alpha_0$ , ce cône étant tangent en un point A0 à la partie aval divergente du venturi, avec  $\alpha_0$  inférieur à  $\beta$ , la seconde partie périphérique formant un cône dont le demi-angle au sommet en sortie d'injecteur est compris entre  $\alpha_0$  et  $\beta$ , et le cône de carburant impactant, en sortie de l'injecteur, la paroi intérieure du venturi sur une surface s'étendant en amont du point de tangence A0 jusqu'à un point A1, ce point A1 étant situé en amont du diamètre intérieur minimum du venturi.

$\alpha_0$  est de préférence compris entre 20 et 30 degrés.

30           Préférentiellement, le point de tangence A0 entre le cône de la première partie centrale (83a) de la nappe de carburant (83) et la partie aval divergente (51b) du venturi (50) est défini par sa distance L0 par rapport à l'extrémité aval de l'injecteur (80) et par sa distance R0 par rapport à l'axe (Y) du dispositif d'injection, et en ce que L0 et R0 vérifient

35     la relation  $1,8 < \frac{L_0}{R_0} < 2,2$ .

Avantageusement, le point A1 délimitant en amont la surface d'impact de la nappe (83) sur le venturi (50) est défini par sa distance L1 par rapport à l'extrémité aval de l'injecteur (80) et par sa distance R1 par rapport à l'axe (Y) du dispositif d'injection, en ce que R1 est égal à R0, et  
5 en ce que L1 et R1 vérifient les relations  $R0=R1$  et  $1,2 < \frac{L1}{R1} < 1,5$ .

Par ailleurs, l'invention concerne aussi une chambre de combustion comprenant une paroi interne, une paroi externe, un fond de chambre et munie d'au moins un tel ensemble d'alimentation en carburant.

L'invention concerne enfin une turbomachine munie d'une telle  
10 chambre de combustion.

L'invention sera mieux comprise et d'autres avantages de celle-ci apparaîtront plus clairement à la lumière de la description d'un mode  
15 préféré de réalisation, donnée à titre d'exemple non limitatif et faite en référence aux dessins annexés, dans lesquels :

- la figure 1 est une vue schématique en coupe d'une turbomachine et plus précisément d'un turboréacteur d'avion ;

- la figure 2 est une vue schématique en coupe de la partie  
20 amont d'une chambre de combustion munie d'un dispositif d'injection selon l'invention ;

- la figure 3 et la figure 4 sont des vues schématiques en coupe d'un dispositif d'injection selon l'invention.

25 La figure 1 montre en coupe une vue d'ensemble d'une turbomachine 1, par exemple un turboréacteur d'avion, comprenant un compresseur basse pression 2, un compresseur haute pression 3, une chambre de combustion 4, une turbine basse pression 5 et une turbine  
30 haute pression 6. La chambre de combustion 4 peut être du type annulaire et est délimitée par deux parois annulaires 7 espacées radialement par rapport à l'axe X de rotation du turboréacteur, et reliées à leur extrémité amont à un fond de chambre annulaire 8. Le fond de chambre 8 comporte une pluralité d'ouvertures (non représentées), régulièrement espacées  
35 circonférentiellement. Dans chacune de ces ouvertures est monté un

dispositif d'injection. Les gaz de combustion s'écoulent vers l'aval dans la chambre de combustion 4 et alimentent ensuite les turbines 5 et 6 qui entraînent respectivement les compresseurs 2 et 3 disposés en amont du fond de chambre 8, par l'intermédiaire respectivement de deux arbres 9 et 10. Le compresseur haute pression 3 alimente en air les dispositifs d'injection, ainsi que deux espaces annulaires disposés radialement respectivement à l'intérieur et à l'extérieur de la chambre de combustion 4. L'air introduit dans la chambre de combustion 4 participe à la vaporisation du carburant et à sa combustion. L'air circulant à l'extérieur des parois de la chambre de combustion 2 participe au refroidissement de ces parois et pénètre dans la chambre par des trous de dilution (non représentés) afin de refroidir les gaz de combustion transmis à la turbine.

La figure 2 montre en coupe un exemple de réalisation d'un dispositif d'injection 10 selon l'invention. Le dispositif d'injection 10, dont l'axe de symétrie de révolution est repéré Y, comporte, disposés de l'amont vers l'aval, un injecteur 80 disposé au centre d'une traversée coulissante 20, liée par une coupelle annulaire 30 à des vrilles radiales 40. Les vrilles radiales 40 comportent un venturi 50 et sont reliées par leur extrémité aval à un bol 60 à paroi conique divergente. Le bol 60 est lui-même relié au fond de chambre 8 par l'intermédiaire d'un déflecteur 70.

La chambre de combustion 4 est alimentée par du carburant liquide, mélangé à de l'air issu d'un compresseur. Le carburant liquide est amené jusqu'à la chambre par les injecteurs 80. L'extrémité aval 81, encore appelée tête, des injecteurs 80 est positionnée au sein du dispositif d'injection 10, au centre de la traversée coulissante 20, de façon à ce que l'axe de symétrie de la tête 81 des injecteurs corresponde à l'axe de symétrie de la traversée coulissante. Les injecteurs 80 sont munis d'un gicleur 82 disposé à l'intérieur de leur tête 81, au niveau de leur extrémité aval. Le gicleur 82 assure la carburation du mélange air-carburant, ce mélange sortant des injecteurs en une nappe. La nappe de carburant vaporisé forme un cône 83 dont l'angle au sommet diffère selon qu'un seul ou les deux circuits d'alimentation fonctionnent. Ainsi, lorsque seul le circuit primaire fonctionne, la cône 83 a un angle au sommet inférieur à celui obtenu lorsque les circuits primaire et secondaire fonctionnent



simultanément. De plus, l'angle du cône 83 de carburant diffère d'un gicleur à un autre et constitue une des caractéristiques à prendre en compte, au moment de la conception, dans le choix d'un gicleur.

5 La figure 3 montre une vue schématique en coupe d'un dispositif d'injection selon l'invention.

Le venturi 50, disposé entre deux vrilles radiales 41 et 42, présente une paroi intérieure 51 ayant un profil évolutif composé d'une partie convergente 51a et d'une partie divergente 51b, reliée entre elles  
10 par une zone de transition, le venturi présentant un diamètre minimum au niveau de la zone de transition. Il est composé d'une partie annulaire 52 s'étendant radialement, reliée par son extrémité radialement interne à une partie conique convergente 53 qui se prolonge en aval en une partie divergente 54. La partie annulaire 52 relie le venturi 50 en amont à la vrille  
15 radiale 41 et en aval à la vrille radiale 42. La partie divergente 54 comporte une surface extérieure 55 et une surface intérieure. La surface extérieure 55 est un cylindre d'axe Y, tandis que la surface intérieure s'évase et constitue la partie divergente 51b de la paroi intérieure 51 du venturi.

20 Comme illustré à la figure 4, la forme et les dimensions du venturi 50, ainsi que la position de l'extrémité aval de la tête 81 de l'injecteur 80, sont calculés et le gicleur 82 est choisi et positionné axialement de telle façon que, lorsque le circuit primaire fonctionne seul, le cône 83 de carburant, se décompose en deux parties 83a et 83b  
25 correspondant chacune à un type d'injection différent.

La nappe de carburant forme, en sortie d'injecteur, un cône 83 dont le demi-angle au sommet est repéré  $\alpha_1$ , et en aval du venturi 50, un cône dont le demi-angle au sommet est repéré  $\beta$ . Préférentiellement,  $\beta$  est compris entre 30 et 40 degrés. La première partie 83a, centrale, du cône  
30 83 est un cône central dont le demi-angle au sommet est repéré  $\alpha_0$ , avec  $\alpha_0$  inférieur à  $\beta$ . Cette première partie centrale 83a assure une injection directe du mélange air-carburant dans la chambre de combustion. L'angle  $\alpha_0$  est tel que le cône central formé par la première partie 83a est tangent au point A0 à la partie divergente 51b du venturi. Préférentiellement,  $\alpha_0$   
35 est compris entre 20 et 30 degrés. La seconde partie 83b, disposée à la périphérie de la première partie 83a, correspond à la partie du cône 83 de

carburant dont le demi-angle au sommet en sortie d'injecteur est compris entre  $\alpha_0$  et  $\beta$  et est obtenue par injection indirecte d'une partie du mélange air-carburant dans la chambre. Cette injection indirecte permet d'obtenir une nouvelle carburation qui est réalisée par une vaporisation secondaire du mélange air-carburant grâce à l'impact de ce mélange sur le venturi. Cet impact a lieu sur toute la surface de la paroi intérieure 51 du venturi 50 située en amont du point de tangence A0 entre la première partie 83a du cône 83 et la partie divergente 51b du venturi, jusqu'à un point A1. Ce point A1 est situé en amont du diamètre minimum du profil intérieur du venturi 50.

A cet effet, pour un gicleur donné, la forme des parties convergente 51a et divergente 51b du venturi est calculée de façon à ce que, d'une part la distance axiale L0 entre l'extrémité aval de la tête 81 de l'injecteur 80 et le point A0, et d'autre part le rayon R0 de la paroi intérieure 51 du venturi au niveau du point A0, vérifient la relation suivante :

$$1,8 < \frac{L_0}{R_0} < 2,2$$

20

Le point A1 doit quant à lui être situé à une distance par rapport à l'axe Y identique à celle du point A0. Ainsi, le rayon R1 de la paroi interne 51 du venturi au niveau du point A1 doit être égal au rayon R0. De plus, le rayon R1 et la distance axiale L1 entre l'extrémité aval de la tête 81 de l'injecteur 80 et le point A1, doivent vérifier les relations suivantes :

25

$$R_0 = R_1 \quad \text{et} \quad 1,2 < \frac{L_1}{R_1} < 1,5$$

Ainsi, lorsque seul le circuit primaire d'alimentation en carburant fonctionne, la majeure partie de l'injection du mélange air-carburant dans la chambre de combustion est directe, tandis qu'une partie moindre est indirecte. En respectant les critères ci-dessus, cette injection indirecte est réalisée dans des proportions telles que les effets négatifs jusqu'alors observés sont notablement réduits, voire disparaissent. Des effets bénéfiques et jusqu'alors non observés apparaissent. Un premier effet

35

bénéfique est qu'une vaporisation secondaire du mélange air-carburant a lieu lorsque celui-ci impacte la partie convergente 51a du venturi 50. Cette vaporisation permet de réduire encore la taille des gouttelettes de carburant ce qui améliore la carburation. Un second effet est lié au fait que  
5 quels que soient les circuits d'alimentation en carburant fonctionnant dans l'injecteur, le venturi est mouillé par du carburant. Il est ainsi refroidit continuellement pendant le fonctionnement de la turbomachine et les écarts de températures qu'il subit sont beaucoup plus faibles, ce qui permet de lutter contre la formation et le dépôt de coke. De plus, l'angle au  
10 sommet du cône 83 de mélange air-carburant en aval du venturi est plus grand que lorsque l'injection, quand seul le circuit primaire fonctionne, est uniquement directe, sans interférer de façon néfaste avec les parois de la chambre de combustion. Ceci permet d'améliorer la propagation de la flamme et par conséquent la capacité de rallumage de la chambre en vol  
15 à faible nombre de mach, c'est à dire à faible vitesse de rotation de la turbomachine. Ainsi, l'enroulement du moteur, c'est à dire son accélération, est lui aussi amélioré puisque l'énergie disponible pour accélérer est plus importante pour vaincre le même couple résistant.

20

## REVENDEICATIONS

1. Ensemble d'alimentation en carburant d'une chambre de combustion d'une turbomachine comprenant :

- 5       - un injecteur de carburant (80) à double débit destiné à injecter un débit primaire de carburant délivré par un circuit primaire d'alimentation en carburant, et un débit secondaire de carburant délivré par un circuit secondaire d'alimentation en carburant,
- 10       - le débit primaire de carburant formant un cône (83) de carburant formé par les débits primaire et secondaire de carburant,
- 15       - un dispositif d'injection du carburant issu de l'injecteur (80), le dispositif d'injection ayant une symétrie de révolution autour d'un axe (Y) et comportant, disposés d'amont en aval dans le sens d'écoulement du débit de carburant, une traversée coulissante (20) au centre de laquelle est positionné l'injecteur (80), des vrilles radiales (40, 41, 42) reliées par leur extrémité aval à un bol (60), les vrilles radiales (40, 41, 42) comportant un venturi (50), muni d'une paroi intérieure (51) ayant un profil évolutif composé d'une partie amont convergente (51a) reliée à une partie aval divergente (51b), par une zone de transition, le venturi (50) ayant un
- 20       diamètre intérieur minimum au niveau de la zone de transition, caractérisé en ce que le venturi a une longueur, une forme et une position axiale adaptées pour que le cône (83) de carburant du circuit primaire impacte le venturi (50),
- 25       le cône de carburant (83) ayant, en aval du venturi (50), un demi-angle au sommet  $\beta$  compris entre 30 et 40 degrés,
- 30       le cône de carburant (83) comportant une première partie centrale (83a) et une seconde partie périphérique (83b), la première partie centrale (83a) formant un cône de demi-angle au sommet  $\alpha_0$ , ce cône étant tangent en un point A0 à la partie aval divergente (51b) du venturi (50), avec  $\alpha_0$  inférieur à  $\beta$ ,
- 35       la seconde partie périphérique (83b) formant un cône dont le demi-angle au sommet en sortie d'injecteur est compris entre  $\alpha_0$  et  $\beta$ , et le cône de carburant (83) impactant, en sortie de l'injecteur (80), la paroi intérieure (51) du venturi (50) sur une surface s'étendant en amont du point de tangence A0 jusqu'à un point A1, ce point A1 étant situé en amont du diamètre intérieur minimum du venturi (50).

2. Ensemble d'alimentation en carburant selon la revendication 1 caractérisé en ce que  $\alpha_0$  est compris entre 20 et 30 degrés.

5 3. Ensemble d'alimentation en carburant selon l'une quelconque des revendications 1 ou 2, caractérisé en ce que le point de tangence A0, entre le cône de la première partie centrale (83a) du cône de carburant (83) et la partie aval divergente (51b) du venturi (50), est défini par sa distance L0 par rapport à l'extrémité aval de l'injecteur (80) et par sa  
10 distance R0 par rapport à l'axe (Y) du dispositif d'injection, et en ce que L0 et R0 vérifient la relation  $1,8 < \frac{L0}{R0} < 2,2$ .

4. Ensemble d'alimentation en carburant selon l'une quelconque des revendications 1 à 3, caractérisé en ce que le point A1, délimitant en  
15 amont la surface d'impact du cône de carburant (83) sur le venturi (50), est défini par sa distance L1 par rapport à l'extrémité aval de l'injecteur (80) et par sa distance R1 par rapport à l'axe (Y) du dispositif d'injection, en ce que R1 est égal à R0, et en ce que L1 et R1 vérifient les relations  
 $R0 = R1$  et  $1,2 < \frac{L1}{R1} < 1,5$ .

20

5. Chambre de combustion comprenant une paroi interne, une paroi externe (7), un fond de chambre (8) caractérisée en ce qu'elle est munie d'au moins un ensemble d'alimentation en carburant selon l'une quelconque des revendications précédentes.

25

6. Turbomachine munie d'une chambre de combustion selon la revendication 5.

1/4

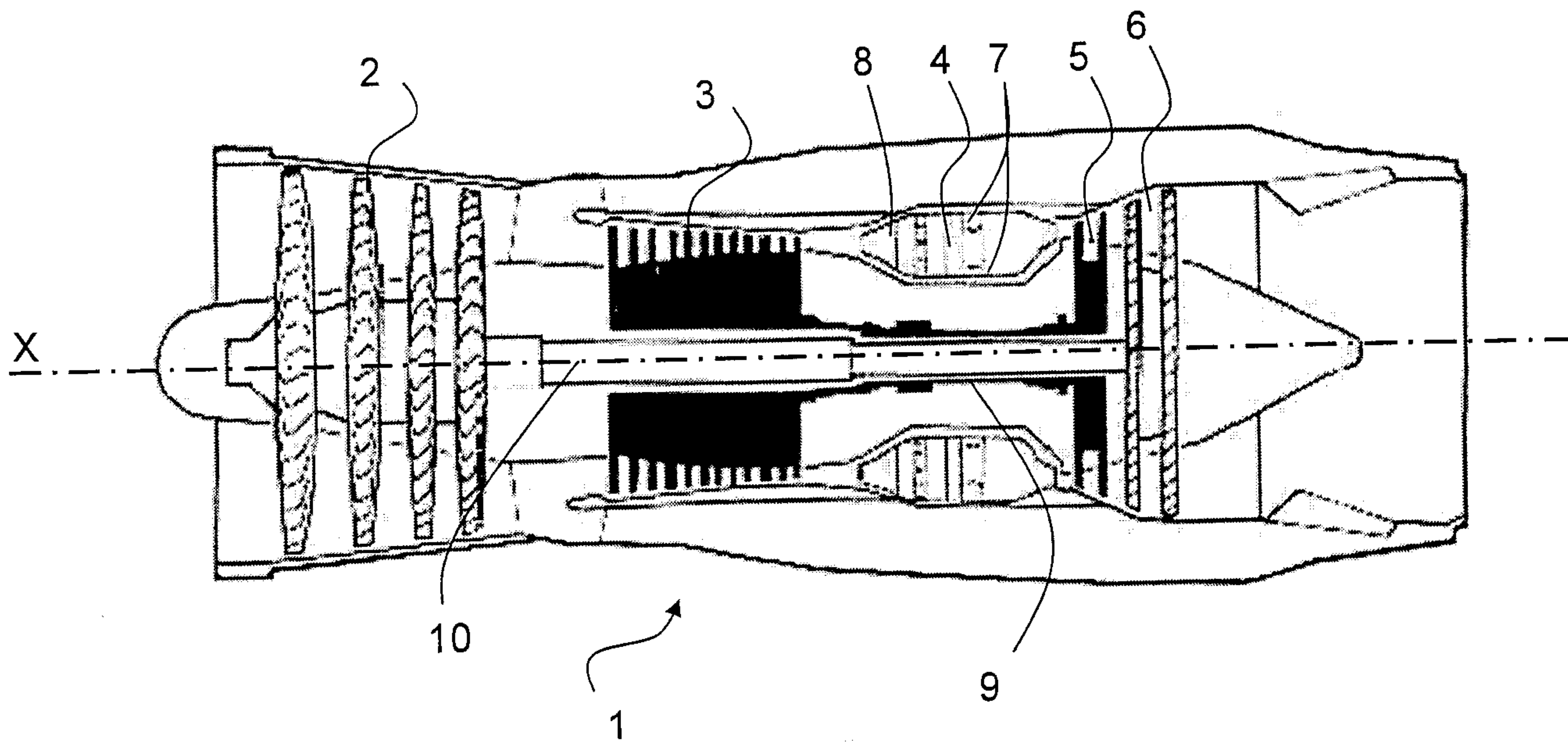


FIG. 1

2/4

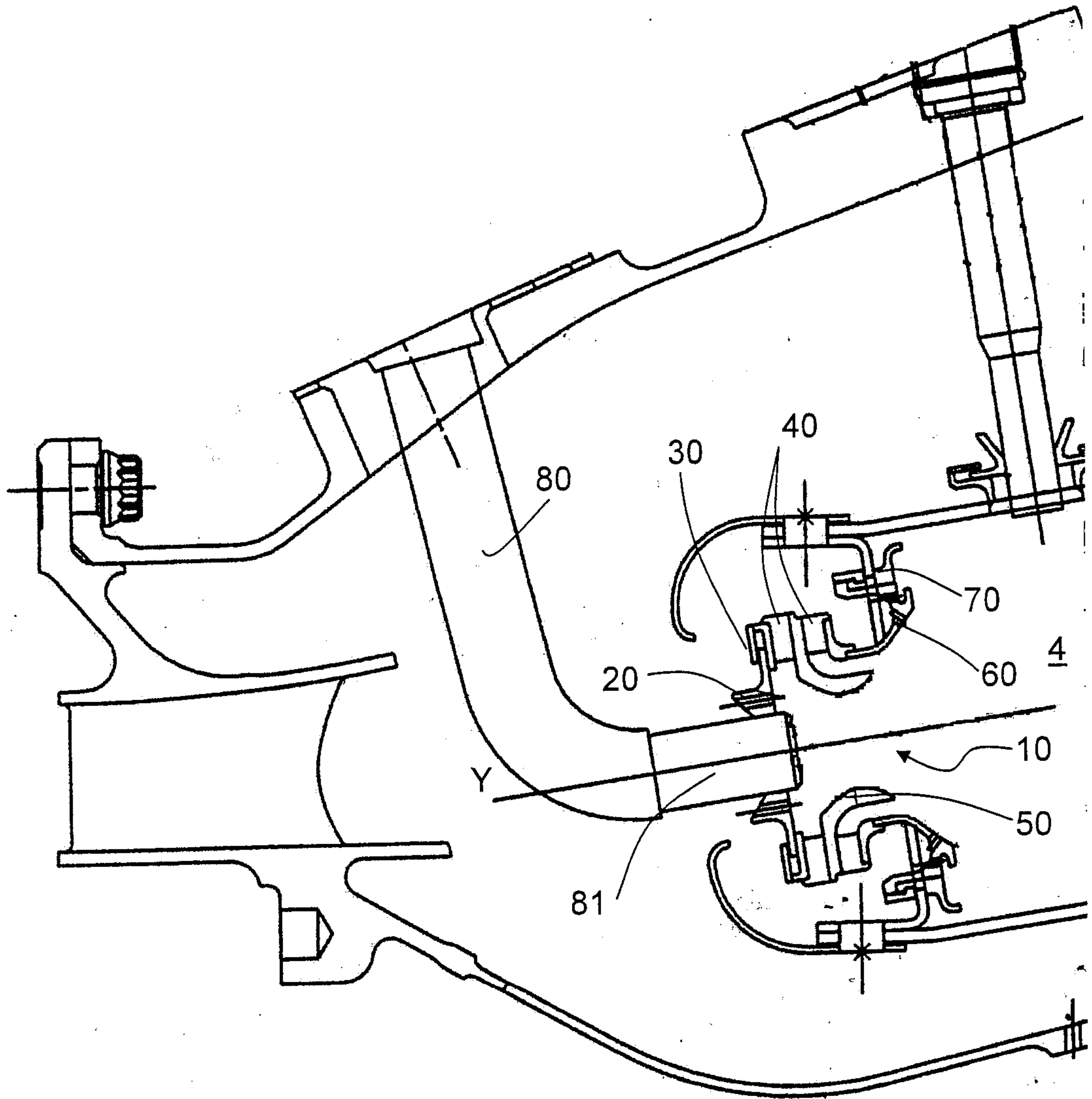


FIG. 2

3/4

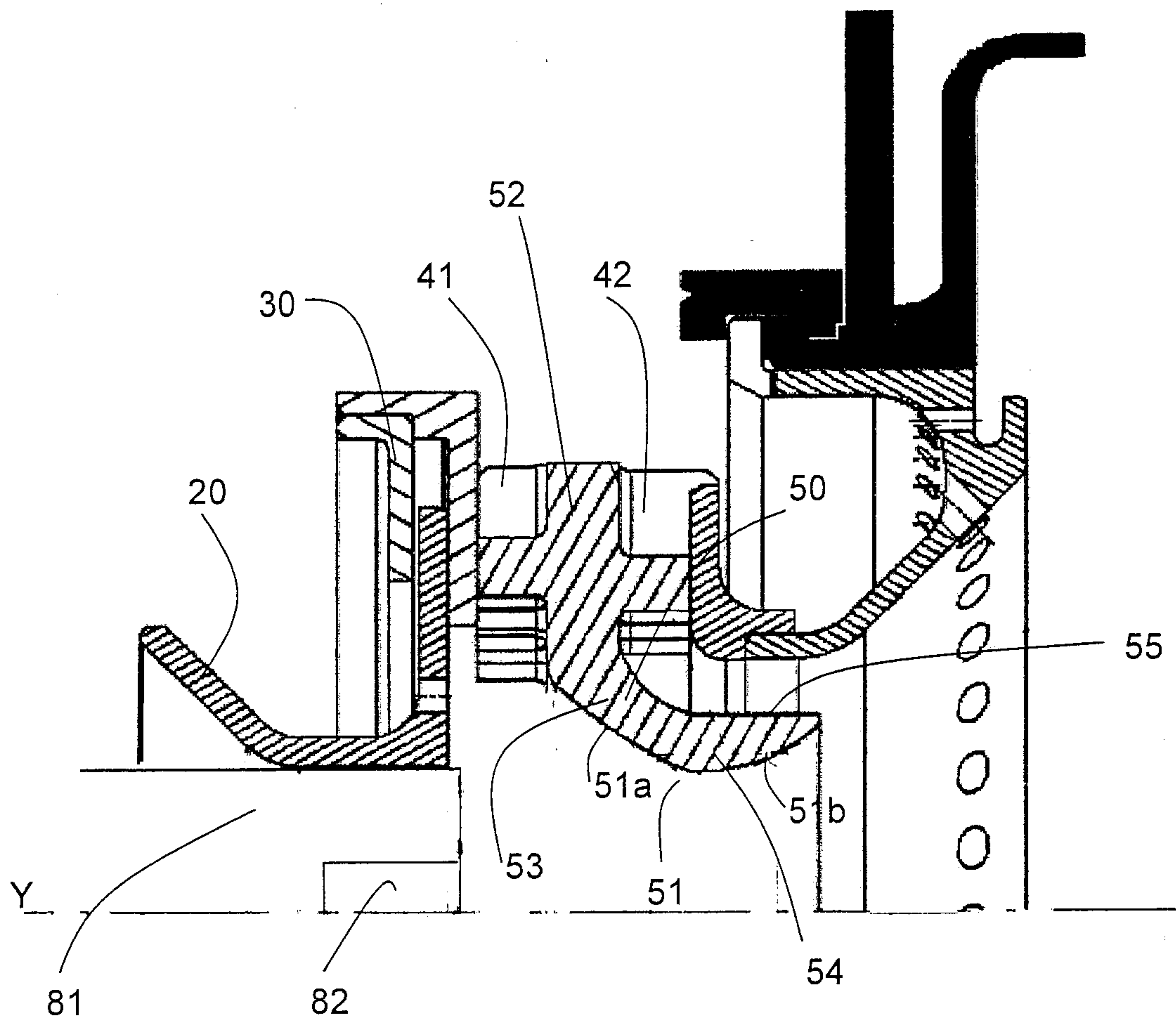


FIG. 3



4/4

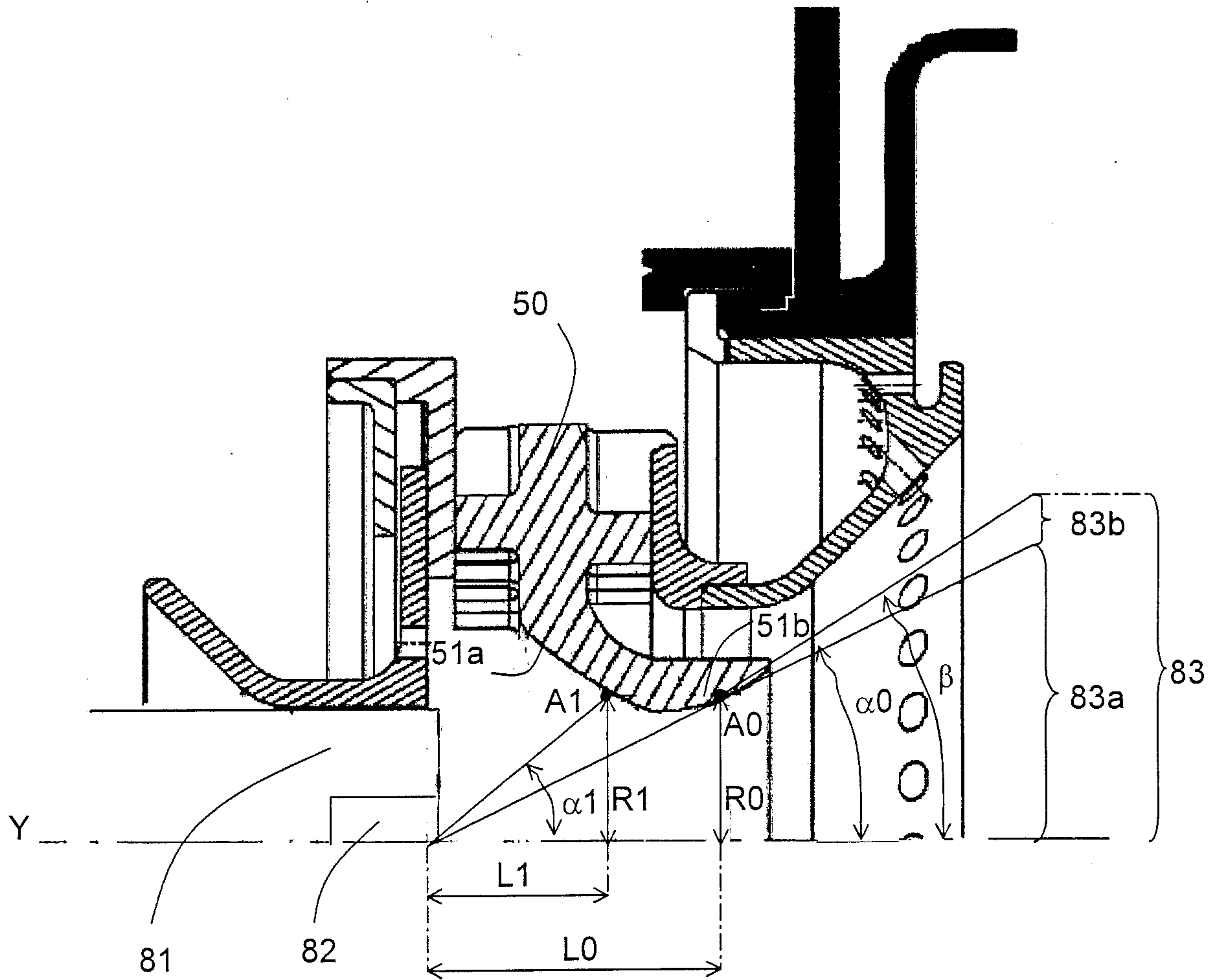


FIG. 4

